
**НОВЫЕ ТЕХНОЛОГИИ
В МАШИНОСТРОЕНИИ**

УДК 621.316.52:669.24'295

**УСТРОЙСТВО БЕЗОПАСНОСТИ НА ОСНОВЕ СПЛАВА
С ВЫСОКОТЕМПЕРАТУРНОЙ ПАМЯТЬЮ ФОРМЫ**

© 2023 г. Н. Н. Попов^{a,*}, Д. В. Пресняков^a, А. А. Костылева^a

^aРоссийский федеральный ядерный центр – Всероссийский научно-исследовательский институт экспериментальной физики, Саров, Нижегородская обл., Россия

*e-mail: NNPopov@vniief.ru

Поступила в редакцию 25.05.2023 г.

После доработки 08.08.2023 г.

Принята к публикации 20.08.2023 г.

Разработано устройство на основе сплавов с высокотемпературной памятью формы, предназначенное для использования в изделиях машиностроения, в частности, в ядерной технике, с целью предотвращения аварийных ситуаций техногенного и природного характера. Устройство выполняет функцию разрыва электрической цепи при аварийном повышении температуры окружающей среды выше допустимой путем перерезания электрического жгута. Исследованы свойства формоизменения термочувствительных рабочих элементов, изготовленных из сплава Ni_{49.5}Ti_{48.0}Hf_{2.5} с высокотемпературной памятью формы. Результаты проведенных экспериментов позволяют сделать вывод о возможности использования устройства в электрических системах для перерезания ножом жаростойких электрических кабелей с наружным диаметром $d_{\text{out}} = 3.4\text{--}5.0$ мм и сечением медных проводов 0.2–1.5 мм^2 при аварийной ситуации, т.е. при превышении температуры окружающей среды от 100°C и максимальном нагреве до 200°C.

Ключевые слова: устройство безопасности, рабочий элемент, сплавы с памятью формы, Ti–Ni–Hf

DOI: 10.31857/S0235711923060147, **EDN:** EGDNOB

При создании устройств безопасности, предназначенных для объектов атомной энергетики, могут использоваться конструкции, в том числе основанные на применении сплавов с высокотемпературной памятью формы (СВПФ). Учитывая сложность и опасность объектов атомной энергетики, последние должны оснащаться дополнительными устройствами безопасности, в том числе предназначенными для перерезания электрического жгута при аварийном повышении температуры окружающей среды выше допустимой.

В литературе приведено много информации о перерезающих устройствах [1–11]. Недостатками известных изобретений является сложность их конструкции, необходимость дистанционного управления и недопустимость использования порохов в ряде изделий машиностроения и, в частности, в ядерной технике. С целью устранения этих недостатков, ранее было разработано устройство, приведенное в [12]. Однако оно предназначено для температур не выше 100°C.

Поэтому для устранения всех перечисленных недостатков, разработано устройство безопасности (УБ), обеспечивающее разрыв электрической цепи путем перерезания электрических жгутов при повышении температуры окружающей среды выше 100°C, с использованием привода на основе изогнутых деталей, изготовленных из сплавов с

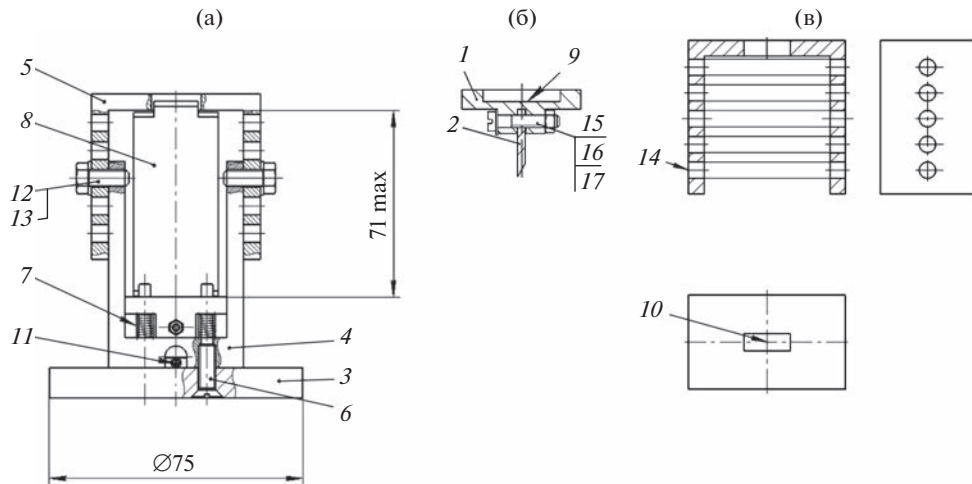


Рис. 1. Схема макета устройства безопасности на основе сплава с высокотемпературной памятью формы (а), (б); (в) – схема верхней стойки макета.

высокотемпературной памятью формы (СВПФ). Устройство имеет упрощенную конструкцию, обладает меньшими габаритами и массой, обеспечивает возможность проверки температуры аварийного срабатывания как перед постановкой устройства в изделие машиностроения, так и в процессе его эксплуатации [13].

В настоящей статье описана конструкция предложенного устройства безопасности и приведены результаты исследований по отработке его работоспособности.

Описание устройства безопасности на основе сплавов с высокотемпературной памятью формы. На рис. 1, схематично изображена конструкция перерезающего устройства. Для обеспечения работоспособности устройства размыкатель нож 2 с прижимом 1, у которого в верхней части имеется цилиндрический глухой паз 9 (рис. 1б), закрепляют при помощи винтового соединения 15, 16, 17. Основание 3 при помощи четырех винтов 6 соединяют с нижней стойкой 4. На верхнюю цилиндрическую часть винтов 6 устанавливают четыре пружины 7 и прижим 1 в сборе с ножом 2. Для получения термо чувствительного рабочего элемента (РЭ) 8 (рис. 1а), предварительно термообработанной заготовке, изготовленной из СВПФ, в мартенситном состоянии наводится деформация изгибом. Затем рабочий элемент 8 в виде деформированной (изогнутой) пластины устанавливают в паз 9 прижима 1 и в паз 10 верхней стойки 5, а жаростойкий электрический кабель 11 – в паз нижней стойки 4. Нижнюю 4 и верхнюю 5 стойки соединяют при помощи болта 12 и шайбы 13. При нагреве до температуры реализации эффекта памяти формы, термо чувствительный элемент 8 выпрямляется, преодолевая сопротивление пружин 7, и в качестве силового привода воздействует на прижим 1 с ножом 2.

Нож своей направленной вниз острий режущей кромкой перерезает жаростойкий электрический кабель 11 и упирается в основание 3. Для увеличения хода или усилий при перерезании ножом 2 кабеля 11 по бокам верхней стойки 5 делаются отверстия 14 (рис. 1в), а на боковых сторонах нижней стойки 4 имеются отверстия с резьбой для соединения с верхней стойкой 5 болтовым соединением 12, 13. Это позволяет изменять рабочее пространство и использовать термо чувствительные исполнительные элементы 8 различных размеров.

Исследование свойств формовосстановления термочувствительных рабочих элементов, изготовленных из сплава с высокотемпературной памятью формы. Термочувствительные рабочие элементы (ТРЭ) изготавливали из сплава Ni_{49,5}Ti_{48,0}Hf_{2,5}, ат.% (полосы, обозначенные изготовителем, как Э-17, Э-18), подобного ранее исследованному в [14] сплаву. Заготовки различной длины (30–68 мм) сечением 9 × 1.4 мм отжигали в вакууме при $T = 850^{\circ}\text{C}$, 1 ч и охлаждали с печью. Далее им на испытательной машине наводили деформацию изгибом при температуре $T = 23^{\circ}\text{C}$ со скоростью движения траверсы $V = 1 \text{ мм/мин}$ с использованием соответствующих матриц и пуансонов. Для определения термомеханических характеристик рабочих элементов оснастку с испытываемым рабочим элементом (без макета УБ) устанавливали в электрическую печь.

Величину наведенной заготовкам рабочих элементов деформации изгибом ε_b рассчитывали по формуле

$$\varepsilon_b = \frac{\tau}{2R_d} \times 100\%, \quad (1)$$

где τ – толщина заготовки рабочего элемента; R_d – радиус кривизны рабочего элемента после наведения деформации изгибом.

В процессе формовосстановления рабочие элементы разгибались до определенного состояния, проявляя эффект памяти формы (ЭПФ) с определенными развивающимися реактивными усилиями.

Величину остаточной деформации ε_{res} после формовосстановления рабочих элементов рассчитывали по формуле

$$\varepsilon_{res} = \frac{\tau}{2R_{sr}} \times 100\%, \quad (2)$$

где R_{sr} – радиус кривизны рабочего элемента после формовосстановления.

Величину ЭПФ рабочего элемента $\eta_{SME WE}$ рассчитывали по формуле

$$\eta_{SME WE} = \varepsilon_b - \varepsilon_{res}. \quad (3)$$

Степень восстановления формы рабочего элемента при проявлении ЭПФ $\eta_{SME WE}$ определяли по формуле

$$\eta_{SME WE} = \frac{\varepsilon_{SME WE}}{\varepsilon_b} \times 100\%. \quad (4)$$

По результатам экспериментов строили диаграммы формовосстановления при нагреве (проявлении ЭПФ) рабочих элементов из СВПФ в координатах “ $\Delta H - T$ ”, по которым методом касательных определяли температуры начала A_{sSME} и окончания A_{fSME} основного формовосстановления ТРЭ. Здесь ΔH – величина изменения высоты рабочего элемента при формовосстановлении; T – температура нагрева.

Корреляционные зависимости величины эффекта памяти формы $\varepsilon_{SME WE}$, степени восстановления формы $\eta_{SME WE}$ и температур основного формовосстановления A_{sSME} и A_{fSME} при проявлении ЭПФ (при нагреве до $T = 200^{\circ}\text{C}$) от радиуса кривизны R_d рабочих элементов (заготовки РЭ различной длины 30–68 мм сечением 9 × 1.4 мм), изготовленных из СВПФ Ni_{49,5}Ti_{48,0}Hf_{2,5}, ат.% (полосы Э-17, Э-18) и отожженных в вакууме (850°C , 1 ч, охлаждение с печью), и после наведения им деформации изгибом (при $T = 23^{\circ}\text{C}$, $V = 1 \text{ мм/мин}$) (без макета УБ) приведены на рис. 2.

По результатам проведенных экспериментов при нагреве до $T = 200^{\circ}\text{C}$ для всех рабочих элементов (без макета УБ), изготовленных из СВПФ Ni_{49,5}Ti_{48,0}Hf_{2,5}, ат.% (полосы Э-17, Э-18) и отожженных в вакууме (850°C , 1 ч, охлаждение с печью), установлено проявление ЭПФ; в заневоленном состоянии при нагреве в рабочих элементах развивались реактивные усилия; при увеличении начальной длины L заготовки РЭ от

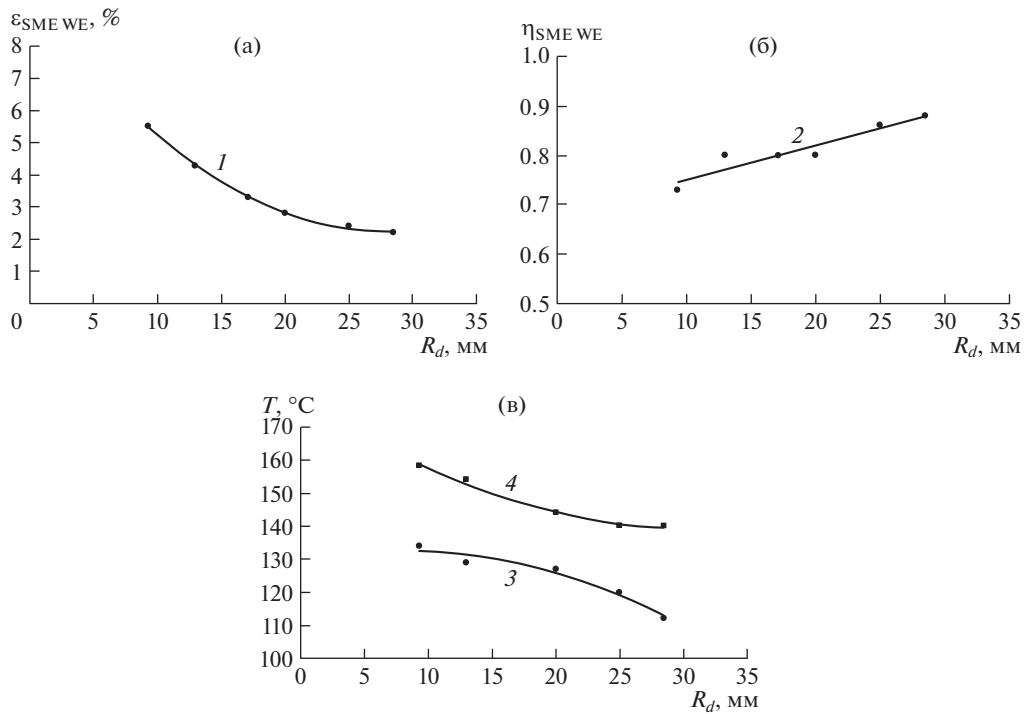


Рис. 2. Зависимости величины эффекта памяти формы $\varepsilon_{\text{SME WE}}$ (а), степени восстановления формы $\eta_{\text{SME WE}}$ (б) и температур основного формовосстановления $A_s \text{SME}$ и $A_f \text{SME}$ (в) при проявлении ЭПФ (при нагреве до $T = 200^\circ\text{C}$) от радиуса кривизны R_d рабочих элементов: 1 – $\varepsilon_{\text{SME WE}} = 0.01R_d^2 - 0.53R_d + 9.6$, $R^2 = 0.999$; 2 – $\eta_{\text{SME WE}} = 0.007R_d + 0.68$, $R^2 = 0.89$; 3 – $A_s \text{SME} = -0.05R_d^2 + 0.8R_d + 129.4$, $R^2 = 0.96$; 4 – $A_f \text{SME} = 0.04R_d^2 - 2.5R_d + 178.7$, $R^2 = 0.99$.

30 до 68 мм и радиуса кривизны R_d РЭ от 9.3 до 28.5 мм после наведения деформации изгибом, соответственно, наблюдалось: 1) уменьшение величины наведенной деформации изгибом ε_b от 7.5% до 2.5%; 2) для шести РЭ из заготовок сечением 9 × 1.4 мм: уменьшение величины эффекта памяти формы $\varepsilon_{\text{SME WE}}$ от 5.5% до 2.2%; увеличение степени восстановления формы при проявлении ЭПФ $\eta_{\text{SME WE}}$ от 0.73 до 0.88; увеличение максимального формовосстановления (изменения высот) ΔH_{\max} (за исключением РЭ № 3) от 4.51 до 10.24 мм; уменьшение температур $A_s \text{SME}$ от 134°C до 112°C и $A_f \text{SME}$ от 158°C до 140°C (за исключением РЭ № 3); колебание температурного интервала $|A_s \text{SME} - A_f \text{SME}|$ в пределах от 17°C до 28°C (за исключением РЭ № 3); 3) для шести РЭ из заготовок сечением 18 × 1.4 мм: уменьшение максимальных развивающихся реактивных усилий F_{\max} от 290 до 149 Н; тенденция уменьшения температур $A'_s \text{SME}$ от 144°C до 135°C и $A'_f \text{SME}$ от 183°C до 162°C; колебание температурного интервала $|A'_s \text{SME} - A'_f \text{SME}|$ в пределах 24–39°C.

Выявлено, чем меньше радиус кривизны РЭ R_d после наведения деформации изгибом, тем больше значение наведенной деформации изгибом ε_b и, соответственно,

Таблица 1. Максимальные усилия, необходимые для перерезания различных макетов жаростойких кабелей

Наименование макета кабеля	а	г	д	е	ж
d_{out} , мм	2.3	4.2	4.4	5.0	5.2
F_{max} , Н	344	448	744	829	608

больше значение реактивных усилий F_{max} , развиваемых рабочими элементами в заневоленном состоянии при проявлении ЭПФ, но при этом меньше перемещения ΔH_{max} , производимые рабочими элементами, и больше величина эффекта памяти формы $\epsilon_{\text{SME WE}}$.

Отметим, что при наведении рабочему элементу деформации изгибом с меньшим радиусом кривизны R_d и, соответственно, при меньшей длине L заготовки РЭ может происходить растрескивание заготовки в процессе наведения ей деформации. Поэтому для наведения деформации изгибом выбирали длину L заготовки РЭ по максимальному значению радиуса кривизны R_d , а также по максимальному значению формовосстановления (изменения высот) ΔH_{max} , которое должно быть больше наружного диаметра d_{out} перерезаемого электрического кабеля. Если, несмотря на более чем достаточную величину формовосстановления ΔH_{max} , не хватает усилия для перерезания кабеля, то необходимо уменьшить радиус кривизны R_d и, соответственно, длину L заготовки РЭ, увеличив еще при этом значение $\epsilon_{\text{SME WE}}$.

На основании проведенных экспериментов оптимальным радиусом пуансона для наведения деформации изгибом заготовкам рабочих элементов, изготовленным из СВПФ системы Ni–Ti–Hf, целесообразно выбрать $R' = 15$ мм.

Определение усилий, необходимых для перерезания макетов жаростойких электрических кабелей. Для исследования работоспособности макета УБ электрической системы определены усилия, необходимые для перерезания макетов жаростойких электрических кабелей. Для этого использовали 5 макетов кабелей. Получали на испытательной машине диаграммы усилий, развиваемых при перерезании макетов кабелей различного наружного диаметра d_{out} . По этим диаграммам были определены максимальные усилия F_{max} , при которых происходило перерезание различных макетов жаростойких электрических кабелей (падение усилий после достижения максимума) и которые необходимо учитывать в дальнейших экспериментах по исследованию работоспособности макета УБ электрической системы. Значения полученных результатов представлены в табл. 1.

Из табл. 1 видно, что чем меньше наружный диаметр d_{out} перерезаемого жаростойкого электрического кабеля, тем меньше усилия F_{max} для этого требуется; при этом макеты кабелей различны (оплетка, изоляция, количество и сечение медных проводов). Только для макета кабеля с $d_{\text{out}} = 5.0$ мм усилие перерезания более чем на 200 Н больше, чем для макета кабеля с $d_{\text{out}} = 5.2$ мм, видимо, из-за большего сечения медных проводов внутри кабеля.

Исследование работоспособности макета устройства безопасности электрической системы с рабочими элементами, изготовленными из сплава $\text{Ni}_{50.0}\text{Ti}_{47.5}\text{Hf}_{2.5}$, ат.% Для опробования работоспособности макета УБ электрической системы перерезающего типа использовали рабочие элементы, изготовленные из полос Э-7-8, Э-7-11, Э-32 СВПФ $\text{Ni}_{50.0}\text{Ti}_{47.5}\text{Hf}_{2.5}$. Данные рабочие элементы использовали ранее в экспериментах по определению их термомеханических характеристик, причем рабочий элемент из полосы Э-7-8 – в экспериментах по определению характеристик его формовосстановления. Для повторного использования рабочие элементы вновь отжигали в вакуум-

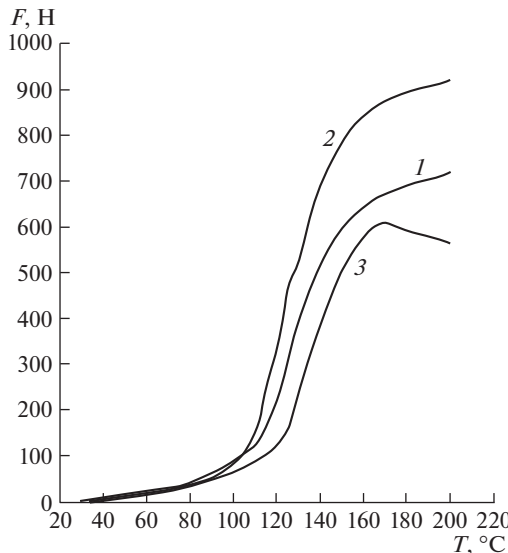


Рис. 3. Диаграммы основных усилий F , развиваемых рабочими элементами из ВСПФ $\text{Ni}_{50.0}\text{Ti}_{47.5}\text{Hf}_{2.5}$, ат.-% (полосы Э-7-8, Э-7-11, Э-32) после второго цикла отжига в вакууме (850°C , 1 ч) и наведения деформации изгибом (при $T = 23^\circ\text{C}$, $V = 1 \text{ мм}/\text{мин}$), в процессе перерезания ножом макетов кабелей с различным d_{out} при нагреве от $T = 30^\circ\text{C}$ до $T = 200^\circ\text{C}$ в течение 5 мин: 1 – РЭ из полосы Э-7-8, макет кабеля с $d_{\text{out}} = 3.4 \text{ мм}$; 2 – РЭ из полосы Э-7-11, макет кабеля с $d_{\text{out}} = 3.5 \text{ мм}$; 3 – РЭ из полосы Э-32, макет кабеля с $d_{\text{out}} = 5.0 \text{ мм}$.

ме при $T = 850^\circ\text{C}$, 1 ч, охлаждение с печью, им вновь наводили деформацию изгибом при температуре $T = 23^\circ\text{C}$ со скоростью движения траверсы $V = 1 \text{ мм}/\text{мин}$ с использованием соответствующих матриц и пуансонов. Для исследования работоспособности макета УБ электрической системы с рабочими элементами, изготовленными из полос Э-7-8, Э-7-11, Э-32 СВПФ $\text{Ni}_{50.0}\text{Ti}_{47.5}\text{Hf}_{2.5}$, ат.-%, использовали три макета жаростойких электрических кабелей с наружным диаметром d_{out} , равным 3.4 мм, 3.5 мм, 5.0 мм. На рис. 3 приведены диаграммы усилий F , развиваемых рабочими элементами после второго цикла отжига в вакууме (850°C , 1 ч) и наведения деформации изгибом (при $T = 23^\circ\text{C}$, $V = 1 \text{ мм}/\text{мин}$), в процессе перерезания ножом макетов кабелей с различным d_{out} , при нагреве от $T = 30^\circ\text{C}$ до $T = 200^\circ\text{C}$ в течение пяти минут.

По диаграммам (рис. 3) методом касательных определены температуры начала $A'_{s\text{SME}}$ и окончания $A'_{f\text{SME}}$ развития основных усилий F рабочих элементов при перерезании ножом макетов кабелей, затем рассчитаны температурные интервалы $|A'_{s\text{SME}} - A'_{f\text{SME}}|$.

В табл. 2 представлены характеристики процесса перерезания ножом макетов кабелей в макете УБ с рабочими элементами, изготовленными из $\text{Ni}_{50.0}\text{Ti}_{47.5}\text{Hf}_{2.5}$, ат.-% (полосы Э-7-8, Э-7-11, Э-32), после повторных циклов отжига в вакууме (850°C , 1 ч, охлаждение с печью) и наведения деформации изгибом при температуре $T = 23^\circ\text{C}$ и скорости движения траверсы $V = 1 \text{ мм}/\text{мин}$, при нагреве до температуры $T = 200^\circ\text{C}$ в течение пяти минут.

В результате проведенных исследований установлено, что при нагреве от температуры $T = 30^\circ\text{C}$ до $T = 200^\circ\text{C}$ в течение пяти минут со средним темпом нагрева $V_{\text{mean}} = 34.0^\circ\text{C}/\text{мин}$ у всех трех рабочих элементов, изготовленных из СВПФ

Таблица 2. Характеристики процесса перерезания ножом макетов жаростойких электрических кабелей с различным наружным диаметром d_{out} в макете УБ с рабочими элементами, изготовленными из СВПФ $\text{Ni}_{50.0}\text{Ti}_{47.5}\text{Hf}_{2.5}$, ат.% (полосы Э-7-8, Э-7-11, Э-32), после второго цикла отжига в вакууме (850°C , 1 ч, охлаждение с печью) и наведения деформации изгибом (при $T = 23^{\circ}\text{C}$, $V = 1 \text{ мм/мин}$), при нагреве от $T = 30^{\circ}\text{C}$ до $T = 200^{\circ}\text{C}$ в течение 5 мин

Характеристики процесса перерезания			
Полоса (РЭ)	Э-7-8	Э-7-11	Э-32
τ , мм	1.65	2.00	2.30
ε_b , %	3.8	4.5	5.2
d_{out} , мм	3.4	3.5	5.0
$A'_{s\text{SME}}$, $^{\circ}\text{C}$	106	103	114
$A'_{f\text{SME}}$, $^{\circ}\text{C}$	145	144	153
$ A'_{s\text{SME}} - A'_{f\text{SME}} $, $^{\circ}\text{C}$	39	41	39
F_{max} , Н	719	920	610
Результат	Макет кабеля перерезан	Макет кабеля перерезан	Макет кабеля перерезан

$\text{Ni}_{50.0}\text{Ti}_{47.5}\text{Hf}_{2.5}$, ат.% (полосы Э-7-8, Э-7-11, Э-32), после второго цикла отжига в вакууме и наведения деформации изгибом, за счет проявления эффекта памяти формы развивались перемещения и максимальные реактивные усилия в пределах 610–920 Н, достаточные для того, чтобы нож, на который рабочий элемент воздействует в качестве силового привода, перерезал различные макеты жаростойких электрических кабелей с наружными диаметрами $d_{\text{out}} = 3.4\text{--}5.0$ мм и сечением медных проводов $0.2\text{--}1.5 \text{ mm}^2$. При этом макеты кабелей были успешно перерезаны (при зафиксированном усилии F_{max}), что определяли после охлаждения и разборки макета УБ электрической системы.

Выводы. Описана конструкция устройства безопасности перерезающего типа, созданная на основе использования сплавов с высокотемпературной памятью формы.

Исследованы свойства формовосстановления термочувствительных рабочих элементов, изготовленных из сплава с высокотемпературной памятью формы. При нагреве до $T = 200^{\circ}\text{C}$ для всех рабочих элементов, изготовленных из СВПФ $\text{Ni}_{50.0}\text{Ti}_{47.5}\text{Hf}_{2.5}$, ат.% (полосы Э-17, Э-18) и отожженных в вакууме (850°C , 1 ч, охлаждение с печью), установлено проявление ЭПФ; в заневоленном состоянии при нагреве в рабочих элементах развивались реактивные усилия; при увеличении начальной длины L заготовки РЭ от 30 до 68 мм и радиуса кривизны R_d РЭ от 9.3 до 28.5 мм после наведения деформации изгибом, соответственно, наблюдалось: 1) увеличение максимального формовосстановления (изменения высот) ΔH_{max} от 4.51 до 10.24 мм; 2) уменьшение максимальных развиваемых реактивных усилий F_{max} от 290 до 149 Н.

Выявлено, что чем меньше радиус кривизны R_d после наведения деформации изгибом, тем больше значение наведенной деформации изгибом ε_b и, соответственно, большее значение реактивных усилий F_{max} , развиваемых рабочими элементами в заневоленном состоянии при проявлении ЭПФ, но при этом меньше перемещения ΔH_{max} , производимые рабочими элементами, и больше величина эффекта памяти формы $\varepsilon_{\text{SME WE}}$.

Установлено, что при нагреве повторно использованных рабочих элементов макета, изготовленных из ВСПФ $\text{Ni}_{50.0}\text{Ti}_{47.5}\text{Hf}_{2.5}$, ат.% (полосы Э-7-8, Э-7-11, Э-32) до

$T = 200^\circ\text{C}$, за счет проявления ЭПФ в них развивались перемещения и реактивные усилия, достаточные для перерезания ножом макетов жаростойких электрических кабелей с наружными диаметрами $d_{\text{out}} = 3.4\text{--}5.0$ мм и сечением медных проводов 0.2–1.5 мм². Результаты проведенных экспериментов позволяют сделать вывод о возможности использования макета УБ с рабочим элементом, изготовленным из СВПФ Ni_{50.0}Ti_{47.5}Hf_{2.5}, ат.% (даже после второго цикла отжига в вакууме и наведения деформации изгибом), в электрических системах для перерезания ножом жаростойких электрических кабелей с наружным диаметром $d_{\text{out}} = 3.4\text{--}5.0$ мм и сечением медных проводов 0.2–1.5 мм² при аварийной ситуации, т.е. при превышении температуры окружающей среды от 100°C и максимальном нагреве до 200°C.

Конфликт интересов. Авторы заявляют об отсутствии конфликта интересов.

СПИСОК ЛИТЕРАТУРЫ

1. *Lin Pi.-Chu.* US Patent 6408951 B1, 2002.
2. *Toho Koki K.K.* JP Patent 3414997 B2, 2003.
3. *Kikai Kogyo K.K.* JP Patent 3529514 B2, 2004.
4. *Nordlin William F.* US Patent 6735870 B2, 2004.
5. *Nordlin William F.* US Patent 6766581 B2, 2004.
6. *Urban B.R., White I.D.M., Dickens J.E., Forsberg K., Sawyer C.* US Patent 6813981 B2, 2004.
7. *Clifton M.B., Pawlenko I., Samson L.* US Patent 6779273 B1, 2004.
8. *Wilhelm E., Holland-Moritz G., Bernd T.* US Patent 6892460 B2, 2005.
9. *Yasuhiko T., Tetsuro J.* JP Patent 3825239 B2, 2006.
10. *Berg S.* WO Patent 2005023475 A1, 2005.
11. Газизов Б.Г., Горбенко Д.В., Афанасьев В.А. РФ Патент 2287411, 2006 г.
12. Попов Н.Н., Пресняков Д.В., Ларькин В.Ф. Устройство безопасности на основе сплавов с памятью формы // Проблемы машиностроения и надежности машин. 2020. № 3. С. 65.
13. Попов Н.Н., Пресняков Д.В. РФ Патент 2784182, 2022.
14. Попов Н.Н., Пресняков Д.В., Гришин Е.Н., Сысоева Т.И., Морозова Т.А., Глухарева С.В., Костылева А.А. Механические и термомеханические характеристики сплава Ni₅₀Ti_{47.5}Hf_{2.5} с высокотемпературным эффектом памяти формы // Материаловедение. 2023. № 4. С. 17.